

短 篇

肝脏原发结外黏膜相关淋巴组织边缘区淋巴瘤1例*

邓玉玲 胡必富* 江广斌
湖北医药学院附属随州医院医学影像科
(湖北 随州 441300)

【关键词】 肝脏；结外黏膜相关淋巴组织边缘区淋巴瘤；磁共振成像

【中图分类号】 R+445.2

【文献标识码】 D

【基金项目】 湖北省教育厅重点项目 (D20162102)

DOI:10.3969/j.issn.1672-5131.2022.11.067

Primary Mucosa-Associated Lymphoid Tissue Extranodal Marginal Zone Lymphoma of the Liver:A Case Report*

DENG Yu-ling, HU Bi-fu*, JIANG Guang-bing.

Department of Radiology, Suizhou Hospital, Hubei University Of Medicine

Keywords: The Liver; Mucosa-Associated Lymphoid Tissue Extranodal Marginal Zone Lymphoma; Magnetic Resonance Imaging

1 病例资料

患者，女，55岁，半月前体检发现肝脏占位，患者自觉一般状态良好，无特殊症状，为确诊及治疗收入我院。实验室结果显示甲胎蛋白、糖类抗原(包括CA199、CA125、CA153)及癌胚抗原均为阴性。影像学:CT扫描(图1A):肝左内叶团块状低密度影，边界清晰。MRI平扫:肝左内叶见稍长T₁WI(图1B)，稍长T₂WI信号(图1C)影;MRI增强:病灶动脉期(图1D)明显强化，内可见血管穿行，门脉期(图1E)病灶呈等信号，延迟期(图1F)病灶强化程度稍减低，呈稍低信号。综合影像学及实验室相关检查，术前考虑为肝腺瘤。术中见大小约6.4cm×5.8cm×5.0cm的肿块，位于肝左内叶，边界清，周围组织器官未见明显异常。病理结果(图1G):结外黏膜相关淋巴组织边缘区淋巴瘤。免疫组化结果为:CD20+，CD79a+，CD43+，bcl-2+，CD10(滤泡中心+)，IgD(残存套区+)，CD21(显示不规则FDC网)，CD3-，CD5-，CD30(散在大细胞+)，cyclinD1-，Ki67(LI:约13%)。

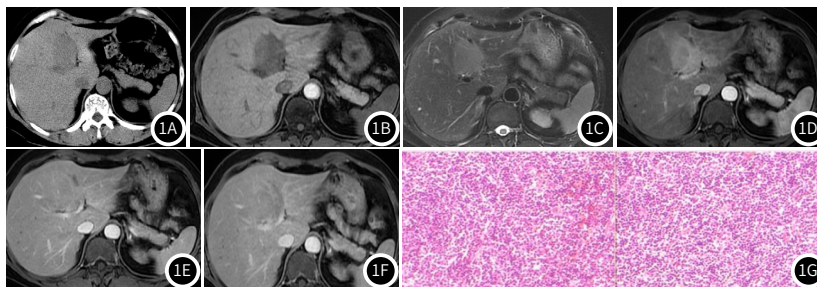


图1A CT平扫. 图1B T₁WI. 图1C T₂WI. 图1D 动脉期. 图1E 门脉期. 图1F 延迟期. 图1G 病理图.

2 讨论

结外黏膜相关淋巴组织边缘区淋巴瘤(extranodal marginal zone lymphoma of mucosa-associated lymphoid tissue, MALT)是非霍奇金淋巴瘤的一种，在1983年由艾萨克森和赖特首次提出。在爱尔兰，MALT占有非霍奇金淋巴瘤的比例为19%，而且超过一半(约59.8%)的MALT发生在胃组织，还可见于唾液腺、肺、眼、皮肤和甲状腺组织^[1]。但原发部位为肝脏非常罕见。原发肝脏淋巴瘤(primary hepatic lymphoma, PHL)指病灶仅局限在肝脏，没有其他组织器官受累，占有结外淋巴瘤的比例不足1%。而MALT占PHL的2%~4%^[2]。文献报道，肝脏原发性MALT以中老年人男性多见，临床表现可以为腹痛、肝脏肿大或发热、乏力等全身性的症状^[3]。MALT通常发生在伴有感染性病原体的慢性炎症中。而原发肝脏MALT的病因还不确定，有学者认为，可能与EB病毒感染、胆汁性肝硬化、乙型或丙型肝炎、非酒精性肝炎等有关^[4]。PHL可表现为肝内单发结节或肿块，也可表现为肝内多发结节及弥漫分布的病灶，其中以单发病变最常见^[5]。PHL影像学表现为肝脏内低或稍低密度，囊变、坏死较少见。增强动脉期病灶呈轻度或不强化，静脉期和延迟期病灶强化程度稍减低，呈等或稍低密度。因为肝脏淋巴瘤来源于肝脏的间质，一般不侵犯肝脏原有的解剖结构，因此增强后病灶内可见正常血管走行其中，呈现典型的“血管漂浮征”^[6-7]。磁共振一般为稍长T₁WI、稍长T₂WI信号，DWI高信号，增强强化方式与CT相似。而本例患者病灶动脉期明显强化，与常见的肝脏淋巴瘤强化方式不同，但回顾分析，该患者无明显临床症状，增强扫描可见“血管漂浮征”，应该考虑PHL可能。

肝脏单发淋巴瘤需与肝内其他恶性肿(如肝细胞肝癌、胆管细胞癌)相鉴别，多发结节型则需与转移瘤相鉴别^[8-9]。PHL的治疗方式包括手术、化疗、放疗或是这些方式的组合，最佳治疗方案尚未确定，有报道称行肝脏切除后辅以化疗或放疗，预后效果会较好^[10]。

(下转第 188 页)

【第一作者】 邓玉玲，女，住院医师，主要研究方向：腹部影像诊断。E-mail: 1031063545@qq.com

【通讯作者】 胡必富，男，教授，主要研究方向：肿瘤影像诊断。E-mail: 156689075@qq.com

道的骨外尤文肉瘤有发生于眼眶、胸部、肾脏、纵隔、腹膜后、骨盆、臀部、胃、硬腭等^[2]，发生于精囊腺者罕见。骨外尤文肉瘤早期无明显症状，后期因肿瘤增大出现压迫及疼痛症状就诊；影像征象无特异性，多表现为体积较大的软组织肿块，形态不规则，与周围组织分界不清；侵袭性生长，易侵及周围软组织及骨质；肿瘤恶性度高，生长快导致肿瘤内部乏血供，出现坏死囊变，导致肿瘤内部信号/密度不均匀，肿瘤内可合并出血及钙化；增强扫描病变明显不均匀强化，有学者^[6]认为增强扫描动脉期肿瘤呈花瓣状强化是其典型的影像征象。单一的影像诊断无法准确诊断尤文肉瘤，确诊多依靠病理诊断。病理常结合肿瘤的组织形态、免疫组化及Fish基因检测结果综合判断。肿瘤细胞镜下表现为蓝色小圆形细胞，含有大量糖原，部分病例出现菊形团结构^[7]；免疫组化示CD99、FLI1表达阳性；基因检测发现EWSR1基因易位^[8]。骨外尤文肉瘤对放、化疗治疗敏感^[9]，随着靶向治疗、造血干细胞移植等治疗方法的应用，尤文肉瘤的5年生存率有所上升，上升至41%左右^[10]。

2.2 影像诊断及鉴别诊断 精囊腺尤文肉瘤还需与精囊腺区域的其它肿瘤相鉴别：前列腺癌侵及精囊腺，老年男性多见，有尿频、尿急、血尿症状，PSA升高，病变主体位于前列腺，增强扫描造影剂延迟期呈廓清表现，早期出现骨转移。精囊腺脓肿，患者有发热病史，白细胞计数高于正常值，精囊腺区占位病变，病变边界浑浊，周围脂肪间隙见液性渗出，盆腔积液，DWI病变明显弥散受限呈高信号，增强扫描病变呈厚壁明显强化。精囊癌，多发生于50岁以上人群，有排尿困难、血精、血尿症状，呈不规则等、混杂密度/信号软组织肿块，浸润性生长，增强扫描动脉期明显强化，延迟期造影剂廓清。

参考文献

[1]冯瑶杰,瞿蛟,危春容,等.骨外尤文肉瘤/外周原始神经外胚层肿瘤的CT及MRI表现[J].放射学实践,2020,35(7):900-904.

[2]刘燕飞,李娟,陈广生,等.儿童非典型性骨外尤文肉瘤4例临床病理分析[J].陕西医学杂志,2020,49(3):360-363+369.

[3]邓觉龙,杜奇勇,李雪,等.硬脊膜外尤文肉瘤1例并文献复习[J].四川医学,2019,8(40):863-865.

[4]胡振彬,陈卫国,秦耿耿,等.耻骨原发性肿瘤及肿瘤样病变的影像学诊断[J].实用医学杂志,2016,1(32):104-106.

[5]Khatavi A,Dhillon C S,Chhasatia N,et al.Primary ewing's sarcoma of the C2 vertebra with progressive quadriparesis: Report of a rare case and review of the literature[J].Surg Neurol Int,2020,11:340-343.

[6]何建凤,丁国恒,孙红军,等.肾脏尤文肉瘤或原始神经外胚层肿瘤1例报告并文献复习[J].实用放射学杂志,2019,9(35):1548-1549.

[7]Hota S,Kalra S,Dorairajan L N,et al.Do Primitive neuroectodermal tumors of the kidney have a predilection for inferior vena cava involvement? a case series and review of the literature[J].J Kidney Cancer VHL,2020,7(4):8-16.

[8]Anne S,Malempati A R,Palanki G.Primary ewing's sarcoma of the lung: a rare case report[J].Indian J Thorac Cardiovasc Surg,2020,36(4):409-411.

[9]Lin T A,Ludmir E B,Liao K P,et al.Relationship between treatment center case volume and survival for localized Ewing sarcoma:The role of radiotherapy timing [J].Pediatr Blood Cancer,2020,67(11):e28685.

[10]Amelot A,Peyre M,Mokhtari K,et al.Primary extraosseous spinal ewing's sarcomas (PESES):Should we be more aware about Diagnosis?[J].Spine (Phila Pa 1976),2020,4(12).

(收稿日期: 2021-08-22)

(校对编辑: 姚丽娜)



(上接第 186 页)

综上所述，肝脏原发MALT罕见，容易误诊，需肝脏活检确诊。当我们发现肝内病变，且无肝硬化，肿瘤标记物不高，增强扫描可见“血管漂浮”征，应考虑到PHL的可能。

参考文献

[1]Choi S,Kim J H,Kim K,et al.Primary hepatic extranodal marginal zone lymphoma of mucosa-associated lymphoid tissue[J].J Pathol Transl Med,2020,54(4):340-345.

[2]Schreuder M I,van den Brand M,Hebeda K M,et al.Novel developments in the pathogenesis and diagnosis of extranodal marginal zone lymphoma[J].J Hematop,2017,10(3-4):91-107.

[3]荣雪飞,蔡剑鸣,董景辉等.11例原发性肝脏淋巴瘤CT及MRI影像表现[J].肝脏,2021,26(3):296-298.

[4]Xu Z,Pang C,Sui J,et al.A case of primary hepatic extranodal marginal zone B-cell mucosa-associated lymphoid tissue (MALT) lymphoma treated by radiofrequency ablation(RFA),and a literature review[J].J Int Med Res,2021,49(3):300060521999539.

[5]程秀,王俊,李丽,等.肝脏原发黏膜相关淋巴组织结外边缘区淋巴瘤一例[J].磁共振成像,2021,12(3):80-81.

[6]Colagrande S,Calistri L,Grazzini G,et al.MRI features of primary hepatic lymphoma [J]. AbdominalRadiology,2018,43(9):2277-2287.

[7]管彬,钟唐力,刘启瑜,等.原发性肝脏淋巴瘤的CT、MRI表现及病理分析[J].中国CT和MRI杂志,2018,(2):1-3+30.

[8]张建新,边泽宇,张俊杰,等.原发性肿块型肝脏淋巴瘤的临床病理及影像特点[J].中国药物与临床,2020,20(1):50-52.

[9]明兵,何瑜,贺国庆,等.肝脏淋巴瘤的CT诊断价值[J].中国CT和MRI杂志,2008,(3):45-47.

[10]Mehta N,Jayapal L,Goneppanavar M,et al.Primary hepatic lymphoma:A rare case report[J].JGH Open. 2019,3(3):261-263.

(收稿日期: 2021-11-10)

(校对编辑: 姚丽娜)